

## Вибродиагностические параметры усталостного повреждения прямоугольных пластин. Сообщение 3. Сквозные и поверхностные полуэллиптические трещины

В. В. Матвеев, О. Е. Богинич

Институт проблем прочности им. Г. С. Писаренко НАН Украины, Киев, Украина

*Рассматриваются результаты аналитического определения вибродиагностических параметров, характеризующих наличие плоских сквозных и поверхностных полуэллиптических центральных трещин нормального отрыва в прямоугольной однородной пластине постоянной толщины при разных условиях закрепления и формах колебаний. Показано, что в случае сквозной трещины наиболее чувствительной вибродиагностической характеристикой повреждения пластины является изменение величины логарифмического декремента колебаний, а при наличии поверхностной трещины – относительная величина второй гармоники колебательного процесса при супергармоническом резонансе.*

**Ключевые слова:** прямоугольная пластина, усталостное повреждение, трещина нормального отрыва, вибродиагностические параметры повреждения, собственная частота колебаний, декремент колебаний, супергармонический резонанс.

**Введение.** Ранее [1] с использованием полученных для прямоугольной пластины общих исходных зависимостей [2] были найдены аналитические выражения для определения относительной энергетической характеристики и ряда вибродиагностических параметров ее усталостного повреждения типа плоских поверхностных трещин постоянной глубины.

В настоящем сообщении с использованием аналогичных подходов [2] рассматриваются результаты расчета вибродиагностических параметров повреждения типа центральных сквозной и поверхностной полуэллиптической трещин нормального отрыва по данным предварительно определяемой относительной энергетической характеристики повреждения пластины.

**1. Определение относительной энергетической характеристики повреждения пластины.** Для исследуемого типа усталостного повреждения прямоугольной пластины (рис. 1) используем общее исходное выражение для относительной энергетической характеристики повреждения в виде [1]

$$\kappa = \frac{t^3}{6D^2} \frac{\Phi_{\tau}}{\Phi_0}. \quad (1)$$

Здесь

$$\Phi_{\tau} = \iint_{(S)} [K_1(\sigma_{\tau})]^2 \delta \bar{\rho} \cos \theta d\Gamma; \quad (2)$$

$$\Phi_0 = \int_0^L \int_0^B \left[ \left( \frac{\partial^2 w}{\partial x^2} \right)^2 + \left( \frac{\partial^2 w}{\partial y^2} \right)^2 + 2\nu \frac{\partial^2 w}{\partial x^2} \frac{\partial^2 w}{\partial y^2} + 2(1-\nu) \left( \frac{\partial^2 w}{\partial x \partial y} \right)^2 \right] dx dy, \quad (3)$$

где  $D$  – цилиндрическая жесткость неповрежденной пластины,  $D = \frac{Et^3}{12(1-\nu^2)}$ ;

$t$  – толщина пластины;  $\nu$  – коэффициент Пуассона;  $K_1(\sigma_T)$  – коэффициент интенсивности напряжений растяжения;  $\sigma_T$  – амплитуда максимального номинального нормального напряжения изгиба в сечении расположения трещины  $x = x_T$ ;  $\delta\vec{\rho}$  – вектор возможного смещения точек фронта (контура  $\Gamma$ ) трещины;  $\theta$  – угол между  $\delta\vec{\rho}$  и нормалью к фронту трещины;  $w$  – собственная форма колебаний пластины,  $w = w(x, y)$ ;  $S$  – площадь трещины.

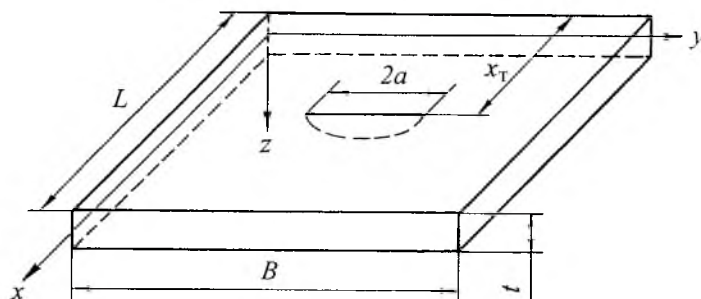


Рис. 1. Схема однородной прямоугольной пластины постоянной толщины  $t$  с прямолинейной плоской трещиной.

Ниже представлены результаты определения с использованием зависимостей (1)–(3) относительной энергетической характеристики  $\kappa$  наличия в пластине прямолинейных центральных сквозной и поверхностной полуэллиптической трещин при разном их количестве и расположении, а также при различных условиях закрепления и формах колебаний пластины.

1.1. **Центральные сквозные прямолинейные трещины.** Для рассматриваемых плоских трещин длиной  $2a_i$ , расположенных параллельно плоскости  $yOz$  на расстоянии  $x_{T,i}$  ( $i = 1, 2, 3, \dots, N$ ), в выражении (2) следует принять  $\rho = a$ ,  $\theta = 0$  и  $d\Gamma = dz$ .

В справочнике [3] для бесконечной пластины толщиной  $t$  и полосы толщиной  $t$  и шириной  $B$  с центральной трещиной длиной  $2a$ , находящейся под действием изгибающего момента, приведена единая формула для определения коэффициента интенсивности напряжений растяжения:

$$K_1(\sigma_T) = K_1 = \sqrt{a} \sigma_T \frac{2z}{t} F_1\left(\frac{t}{a}, \frac{a}{B}\right), \quad (4)$$

где

$$\sigma_T = \frac{6M_{x=x_T}}{t^2}.$$

Допуская в приближении возможность использования формулы (4) и в случае изменения величины  $\sigma_T$  по длине трещины, т.е. при  $\sigma_T = \sigma_T(y) > 0$ , выражение (2) при наличии  $N$  невзаимодействующих трещин длиной  $2a_i$  примет вид

$$\Phi_{\tau} = \frac{t}{3} \sum_{i=1}^N \int_0^{a_i} a \sigma_{\tau,i}^2(a) F_1^2\left(\frac{t}{a}, \frac{a}{B}\right) da. \quad (5)$$

Для рассматриваемых центральных трещин условие  $\sigma_{\tau}(y) > 0$  выполняется для форм колебаний, симметричных относительно центральной оси пластины, перпендикулярной плоскости трещины, и длина полуволны которых больше длины трещины.

При интегрировании по длине трещины необходимо учитывать, что функция  $F_1$  зависит от двух параметров:  $t/a$  и  $a/B$ . В связи с этим функцию  $F_1$  представляли по данным приведенных в [3] кривых  $F_1\left(\frac{t}{a\sqrt{10}}\right)$  и  $F_1\left(\frac{2a}{B}\right)$  для  $\nu = \frac{1}{3}$  в виде суммы двух интерполирующих функций, одна из которых определяет зависимость  $F_1$  от параметра  $t/a$  при  $a/B = 0$ , а другая – от параметра  $a/B$  при данном значении  $t/a$ . В результате для квадрата функции  $F_1$  получим

$$F_1^2\left(\frac{t}{a}, \frac{a}{B}\right) \cong \left[ 0,878 - \frac{0,124}{0,158 + \frac{t}{a\sqrt{10}}} + \left(1,476 - 1,745 \frac{2a}{B}\right) \left(\frac{t}{a\sqrt{10}} - 0,5\right) - \right. \\ \left. - \left(1,639 \frac{2a}{B} - 1,346\right) \left(\frac{t}{a\sqrt{10}} - 0,5\right)^2 \right] \operatorname{tg}\left(1,59 \frac{2a}{B}\right) + \operatorname{th}\left(0,56 \frac{t}{a\sqrt{10}} + 0,43\right). \quad (6)$$

1.1.1. *Пластина, шарнирно опертая по всем краям.* Формы колебаний пластины, описываемые функцией

$$w(x, y) = A_{mn} \sin \frac{m\pi}{L} x \sin \frac{n\pi}{B} y \quad (m, n = 1, 2, 3, \dots), \quad (7)$$

определяют выражения для амплитуд максимальных напряжений изгиба в сечениях расположения трещин  $x = x_{\tau,i}$  и функции (3):

$$\sigma_{\tau,i} = \sigma_{\max} \sin \frac{m\pi}{L} x_{\tau,i} \sin \frac{n\pi}{B} y; \quad (8)$$

$$\Phi_0 = \frac{BLt^4}{144D^2} \lambda_{m,n}^2 \sigma_{\max}^2, \quad (9)$$

где

$$\sigma_{\max} = 6\pi^2 \left[ \left(\frac{m}{L}\right)^2 + \nu \left(\frac{n}{B}\right)^2 \right] \frac{D}{t^2} A_{mn}; \quad (10)$$

$$\lambda_{m,n} = \frac{\left(\frac{m}{L}\right)^2 + \left(\frac{n}{B}\right)^2}{\left(\frac{m}{L}\right)^2 + \nu \left(\frac{n}{B}\right)^2}. \quad (11)$$

Учитывая необходимость непрерывного выполнения условия  $\sigma_T(y) > 0$ , ограничимся рассмотрением случаев  $n = 1, 3, \dots$  и  $2a < B/n$ .

С использованием формул (5) и (9) найдем выражение для параметра  $\kappa$ :

$$\kappa_{1.1.N} = \frac{8}{BL\lambda_{m,n}^2} \sum_{i=1}^N \sin^2 \frac{\pi m}{L} x_{T,i} \int_0^{a_i} a \cos^2 \frac{\pi n}{B} a F_1^2 \left( \frac{t}{a}, \frac{a}{B} \right) da. \quad (12)$$

Заметим, что поскольку при сквозной трещине ее раскрытие может происходить как с одной, так и с другой стороны поверхности пластины, то при наличии трещин одинаковой длины ( $2a$ ) и расположении их при колебаниях пластины по  $m$ -й форме в сечениях с наибольшим значением  $\sigma_T$ , т.е. при  $x_{T,i} = \frac{1+2(i-1)}{2m} L$  ( $i = 1, 2, \dots, N = m$ ), формула (12) преобразуется к виду

$$\kappa_{1.1.m} = \frac{8m}{BL\lambda_{mn}^2} \int_0^a a \cos^2 \frac{\pi n}{B} a F_1^2 \left( \frac{t}{a}, \frac{a}{B} \right) da. \quad (13)$$

1.1.2. *Пластина, шарнирно опертая по краям  $x = 0$  и  $x = L$  и свободная по двум другим.* При простых балочных формах колебаний (см. (7) при  $\sin \frac{\pi n}{B} y \equiv 1$ ) наиболее приемлемо использование формул (4), (6), т.е. при постоянном значении  $\sigma_{T,i}$  по длине трещины. Подставив выражение (6) в (5), после интегрирования и элементарных преобразований получим

$$\Phi_T \approx \frac{t}{3} \sum_{i=1}^N \sigma_{T,i}^2 a_i^2 \lambda_i \left( \frac{a_i}{t}, \frac{a_i}{B}, \frac{t}{B} \right), \quad (14)$$

где

$$\begin{aligned} \lambda_i \left( \frac{a_i}{t}, \frac{a_i}{B}, \frac{t}{B} \right) = & \frac{1}{a_i^2} \int_0^{a_i} a F_1^2 \left( \frac{t}{a}, \frac{a}{B} \right) da \approx \left[ 1,518 + 0,2 \frac{a_i}{t} - 0,926 \frac{a_i}{B} - \right. \\ & \left. - 0,098 \frac{t}{B} + 0,54 \left( \frac{t}{a_i} \right)^2 \right] \left[ 0,795 \frac{a_i}{B} + 1,00492 \left( \frac{a_i}{B} \right)^3 + 2,1679 \left( \frac{a_i}{B} \right)^5 \right] + \\ & + \left[ 0,1235 \frac{B}{a_i} \left( 1 + 0,5 \frac{a_i}{t} \right) - 0,013 \frac{t}{a_i} \frac{B}{a_i} + 0,103 \left( \frac{t}{a_i} \right)^2 - 0,291 \right] \times \end{aligned}$$

$$\times \ln \cos\left(3,18 \frac{a_i}{B}\right) + 0,54 \operatorname{th}\left(0,43 + 0,1771 \frac{t}{a_i}\right). \quad (15)$$

Тогда формулы для параметра  $\kappa$  при  $N$  трещинах разной длины  $a_i$  в произвольных сечениях  $x_{\tau,i}$  и одинаковой длины  $a$  в сечениях с наибольшим значением  $\sigma_{\tau}$  примут соответственно вид

$$\kappa_{1.2.N} = \frac{8}{BL} \sum_{i=1}^N a_i^2 \lambda_i \sin^2 \frac{m\pi}{L} x_{\tau,i}; \quad (16)$$

$$\kappa_{1.2.m} = \frac{8a^2}{BL} m \lambda. \quad (17)$$

1.1.3. *Пластина, жестко защемленная по краям  $x=0$  и  $x=L$  и свободная по двум другим.* При наиболее простых формах колебаний, описываемых балочной функцией

$$w(x, y) = A_{kj} [(\sin k_j x - \operatorname{sh} k_j x) - B_j (\cos k_j x - \operatorname{ch} k_j x)], \quad (18)$$

амплитуды максимальных напряжений изгиба в сечениях расположения трещин  $x_{\tau,i} \equiv x_i$  определяются выражением

$$\sigma_{\tau,i} = \sigma_{\max} \frac{(\sin k_j x_i + \operatorname{sh} k_j x_i) - B_j (\cos k_j x_i + \operatorname{ch} k_j x_i)}{(\sin k_j x_{mj} + \operatorname{sh} k_j x_{mj}) - B_j (\cos k_j x_{mj} + \operatorname{ch} k_j x_{mj})}. \quad (19)$$

Здесь

$$\sigma_{\max} = \frac{6(k_j L)^2}{t^2 L^2} [(\sin k_j x_{mj} + \operatorname{sh} k_j x_{mj}) - B_j (\cos k_j x_{mj} + \operatorname{ch} k_j x_{mj})] A_{kj} \quad (20)$$

– наибольшее из максимальных напряжений изгиба в пластине;  $k_1 L = 4,73$ ;  $k_2 L = 7,853$ ;  $k_j = \frac{\pi}{2} (2j + 1)$  ( $j = 3, 4, \dots$ );  $B_1 = 1,0178$ ;  $B_2 = 0,999223$ ;  $B_3 = 1,0000335$ ;  $B_4 = 0,9999986$ ;  $B_5 = 1,0000001$ ; ... .

Координата  $x_{mj}$  соответствует одной из координат, вычисляемых из уравнения

$$(\cos k_j x_j + \operatorname{ch} k_j x_j) + B_j (\sin k_j x_j + \operatorname{sh} k_j x_j) = 0.$$

Тогда с использованием выражения (14), учитывая (19), найдем при наличии  $N$  не взаимодействующих трещин

$$\Phi_{\tau} = \frac{t}{3} \sigma_{\max}^2 \frac{\sum_{i=1}^N a_i^2 \lambda_i [(\sin k_j x_i + \operatorname{sh} k_j x_i) - B_j (\cos k_j x_i + \operatorname{ch} k_j x_i)]^2}{[(\sin k_j x_{mj} + \operatorname{sh} k_j x_{mj}) - B_j (\cos k_j x_{mj} + \operatorname{ch} k_j x_{mj})]^2}. \quad (21)$$

Выражение для параметра  $\kappa$  получим с помощью формул (1), (21), учитывая, что при данной форме колебаний (18)

$$\Phi_0 = \frac{Bt^4 L \sigma_{\max}^2}{36D^2 [(\sin k_j x_{mj} + \operatorname{sh} k_j x_{mj}) - B_j (\cos k_j x_{mj} + \operatorname{ch} k_j x_{mj})]^2}, \quad (22)$$

$$\kappa_{1,3,N} = \frac{2}{BL} \sum_{i=1}^N a_i^2 \lambda_i [(\sin k_j x_i + \operatorname{sh} k_j x_i) - B_j (\cos k_j x_i + \operatorname{ch} k_j x_i)]^2. \quad (23)$$

Ранее [1] отмечалось, что из-за статической неопределимости пластины, обусловливаемой условиями жесткого закрепления ее краев, используемые здесь выражения для коэффициента интенсивности напряжений целесообразно ограничить рассмотрением трещин, расположенных вдали от защемленных краев достаточно гибкой пластины.

В качестве примера возможной зависимости параметра  $\kappa$  от относительных размеров трещины и пластины на рис. 2 приведены результаты, рассчитанные по формулам (13) и (17), для пластины, шарнирно опертой по всем краям и по краям  $x = 0$  и  $x = L$  при различных значениях отношения  $B/t$ . Данные представлены в виде зависимостей обобщенных параметров  $\kappa L \lambda_{m,n}^2 / B$  для пластины, шарнирно опертой по всем краям, и  $\kappa L / B$  для пластины, опертой по двум краям, от относительной длины  $\gamma = 2a/B$  одиночной ( $N = 1$ ) центральной сквозной трещины, расположенной при колебаниях пластины по  $m$ -й форме в одном из сечений ( $x_{T,i} = \frac{1 + 2(i-1)}{2m} L$ ,  $i = 1, 2, \dots, N = m$ ) с наибольшим значением максимального напряжения изгиба  $\sigma_{T,i} = \sigma_{\max}$ . При наличии одинаковых трещин при  $m$ -й форме колебаний во всех  $m$  сечениях с напряжением  $\sigma_{T,i} = \sigma_{\max}$  приведенные значения обобщенного параметра  $\kappa L / B$  либо  $\kappa L \lambda_{m,n}^2 / B$  увеличиваются в  $m$  раз.

**1.2. Центральная полуэллиптическая поверхностная трещина.** Для рассматриваемой трещины длиной  $2a$  и максимальной глубиной  $b$  (рис. 3), расположенной параллельно плоскости  $yOz$  на расстоянии  $x = x_T$ , в формуле (2) вектор  $\vec{\rho}$  соответствует расстоянию от центра эллипса до текущей точки на контуре  $\Gamma$  трещины, модуль которого

$$\rho = a \left( \cos^2 \varphi + \frac{b^2}{a^2} \sin^2 \varphi \right)^{0,5}.$$

Косинус угла между радиус-вектором  $\vec{\rho}$  и нормалью к контуру трещины при его задании в полярных координатах  $(\alpha, \rho)$  будет  $\cos \theta = \rho \frac{d\alpha}{d\Gamma}$ .

При вычислении значений функции (2), следуя работе [4], полагаем, что величина  $\Phi_T$  не зависит от пути интегрирования и отношение полуосей эллипса есть величина постоянная  $\bar{\alpha} = b/a = \text{const}$ . В этом случае можно

записать  $\frac{d\rho}{da} = \frac{\rho}{a}$ , а учитывая зависимость между декартовыми и полярными координатами эллипса, определяющую соотношения  $\rho \cos \alpha = a \cos \varphi$  и  $\operatorname{tg} \alpha = \frac{b}{a} \operatorname{tg} \varphi$ , получаем  $d\alpha = \frac{ab}{\rho^2} d\varphi$ .

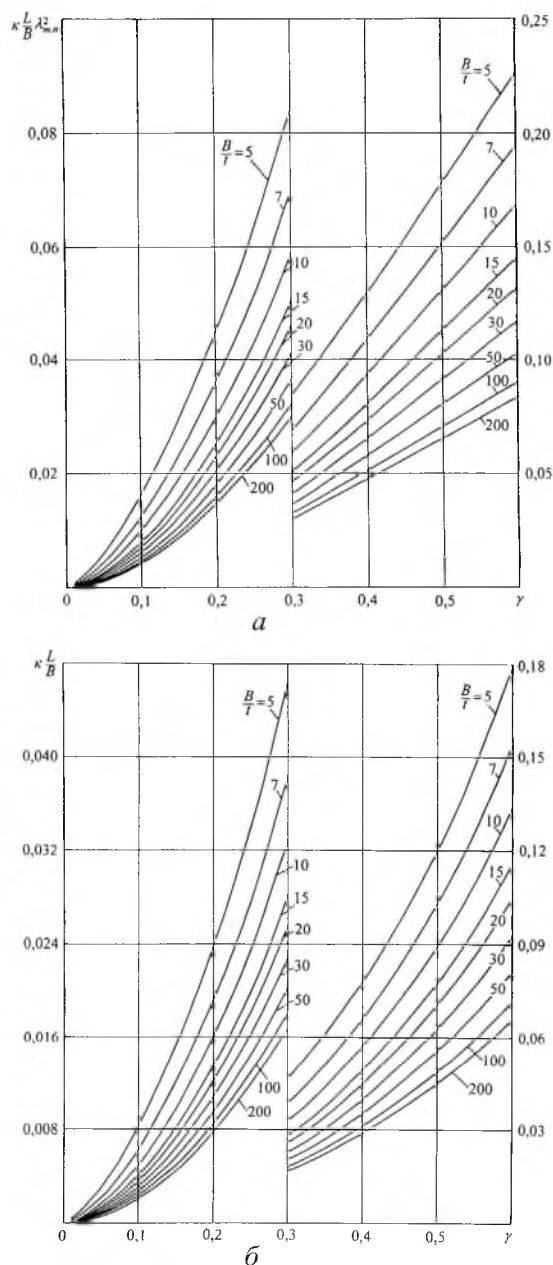


Рис. 2. Зависимости обобщенных параметров повреждения  $\kappa L \lambda_{m,n}^2 / B$  для шарнирно опертой по всем краям пластины (а) и  $\kappa L / B$  для шарнирно опертой по двум краям пластины (б) от относительной длины  $\gamma = 2a/B$  центральной сквозной трещины, расположенной в одном из сечений пластины с наибольшим значением максимального напряжения изгиба при разных отношениях  $B/t$  ее размеров.

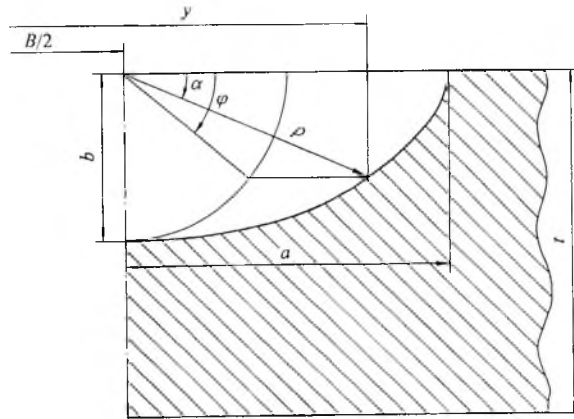


Рис. 3. Схема центральной полуэллиптической поверхностной трещины длиной  $2a$  и максимальной глубиной  $b$ .

С помощью приведенных соотношений выражение (2) преобразуется к виду

$$\Phi_{\tau} = 2\bar{\alpha} \int_0^{\pi/2} \int_0^a a K_1^2 da d\varphi. \quad (24)$$

Для определения коэффициента интенсивности напряжений  $K_1$  используем известную зависимость для пластины конечных размеров, которая нагружена изгибающим моментом [5]:

$$K_1 = \sigma_{\tau} \frac{\sqrt{\pi b}}{E_k} H(\bar{\alpha}, \beta, \varphi) F_1(\beta, \bar{\alpha}, \gamma, \varphi), \quad (25)$$

где  $\sigma_{\tau}$  – максимальное номинальное напряжение изгиба в сечении  $x = x_{\tau}$ ;

$$\left\{ \begin{array}{l} E_k = (1 + 1,464\bar{\alpha}^{1,65})^{1/2}; \quad H = H_1 + (H_2 - H_1) \sin^p \varphi; \\ H_1 = 1 - 0,34\beta - 0,11\bar{\alpha}\beta; \\ H_2 = 1 - (1,22 + 0,12\bar{\alpha})\beta + (0,55 - 1,05\bar{\alpha}^{0,75} + 0,47\bar{\alpha}^{1,5})\beta^2; \\ p = 0,2 + \bar{\alpha} + 0,6\beta; \\ F_1(\beta, \bar{\alpha}, \gamma, \varphi) = \left[ 1,13 - 0,09\bar{\alpha} - \left( 0,54 - \frac{0,89}{0,2 + \bar{\alpha}} \right) \beta^2 + \right. \\ \left. + \left( 0,5 - \frac{1}{0,65 + \bar{\alpha}} + 14(1 - \bar{\alpha})^{24} \right) \beta^4 \right] [1 + (0,1 + 0,35\beta^2)(1 - \sin \varphi)^2] \times \\ \times [\sec(\pi\gamma\sqrt{\beta})]^{0,5} (\sin^2 \varphi + \bar{\alpha}^2 \cos^2 \varphi)^{0,25}; \\ \beta = \frac{b}{t} = \bar{\alpha} \frac{a}{t}; \quad \gamma = \frac{a}{B}. \end{array} \right. \quad (26)$$



1.2.1. *Пластина, шарнирно опертая по всем краям.* Рассмотрим  $N$  параллельных центральных трещин длиной  $2a_q$  и максимальной глубиной  $b_q$ , расположенных в сечениях  $x = x_{\tau,q}$ , при условии отсутствия значимого их взаимовлияния.

Допускаем в приближении возможность использования формулы (24) для случая некоторого изменения  $\sigma_{\tau,q}$ , определяемого выражением (8) при  $i \equiv q$ , по длине трещины. Выразив  $\sin \frac{\pi n}{B} y$  в пределах изменения  $y$  от  $B/2$  до  $B/2 + a_q$  через угол  $\varphi$ , т.е. осуществив в формуле (8) замену  $\sin \frac{\pi n}{B} y = \cos \left( \frac{\pi n}{B} a \cos \varphi \right)$ , получим

$$\sigma_{\tau,q}(y) = \sigma_{\tau,q}(\varphi) = \sigma_{\max} \sin \frac{m\pi}{L} x_{\tau,q} \cos \left( \frac{\pi n}{B} a \cos \varphi \right),$$

где  $\sigma_{\max}$  определяется по формуле (10).

Тогда выражение (24) с учетом (25) при  $\bar{\alpha} = b_q/a_q = \text{const}$  и  $b_q = \bar{\alpha}a_q$  для  $q$ -й трещины примет следующий вид:

$$\Phi_{\tau,q} = \frac{2\pi\bar{\alpha}^2}{E_k^2} \sigma_{\max}^2 \sin^2 \frac{m\pi}{L} x_{\tau,q} F_{2n}(a_q, \bar{\alpha}_q, \beta_q, \gamma_q), \quad (27)$$

где

$$F_{2n}(a_q, \bar{\alpha}_q, \beta_q, \gamma_q) = \int_0^{\pi/2} \int_0^{a_q} \left[ a \cos \left( \frac{\pi n}{B} a \cos \varphi \right) H(\bar{\alpha}, \beta, \varphi) F_1(\beta, \bar{\alpha}, \gamma, \varphi) \right]^2 da d\varphi. \quad (28)$$

В случае  $n=1$  получим

$$F_2(a_q, \bar{\alpha}_q, \beta_q, \gamma_q) \approx a_q^3 \sum_{i=1}^7 \sum_{j=1}^4 \beta_q^{i-1} f_i(\bar{\alpha}) [f_{i1}(\gamma_q) C_1^2 + f_{i2}(\gamma_q) C_1 C_2 \beta_q^2 + f_{i3}(\gamma_q) (C_2^2 + 2C_1 C_3) \beta_q^4 + f_{i4}(\gamma_q) C_2 C_3 \beta_q^6], \quad (29)$$

где

$$f_i(\bar{\alpha}) = A_{i0} + A_{i1}\bar{\alpha} + A_{i2}\bar{\alpha}^2 + A_{i3}\bar{\alpha}^3; \quad f_{ij}(\gamma_q) = A_{ij,0} + A_{ij,2}\gamma_q^2 + A_{ij,4}\gamma_q^4;$$

$$C_1 = 1,13 - 0,09\bar{\alpha}; \quad C_2 = \frac{0,89}{0,2 + \bar{\alpha}} - 0,54; \quad C_3 = 0,5 - \frac{1}{0,65 + \bar{\alpha}} + 14(1 - \bar{\alpha})^{24}.$$

Значения коэффициентов  $A_{ij}$  ( $i=1, 2, 3, \dots, 7; j=0, 1, 2, 3$ ) и  $A_{ij,m}$  ( $i, j=1, 2, 3, 4; m=0, 2, 4$ ) приведены в табл. 1 и 2.

Т а б л и ц а 1

Значения коэффициентов  $A_{ij}$  выражения (29)

$i$	$A_{i,0}$	$A_{i,1}$	$A_{i,2}$	$A_{i,3}$
1	$\frac{1,009}{1,059}$	$\frac{0,223}{-0,103}$	$\frac{0,641}{1,220}$	$\frac{-0,230}{-0,539}$
	$\frac{-2,357}{-2,380}$	$\frac{-0,222}{0,224}$	$\frac{-0,882}{-0,891}$	$\frac{0,277}{0,280}$
3	$\frac{2,647}{2,673}$	$\frac{-2,242}{-2,264}$	$\frac{2,676}{2,703}$	$\frac{-0,908}{-0,917}$
	$\frac{-1,714}{-1,731}$	$\frac{3,157}{3,189}$	$\frac{-3,020}{-3,050}$	$\frac{1,015}{1,025}$
5	$\frac{0,740}{0,747}$	$\frac{-1,701}{-1,719}$	$\frac{1,968}{1,988}$	$\frac{-0,781}{-0,789}$
	$\frac{-0,270}{-0,273}$	$\frac{0,588}{0,594}$	$\frac{-0,653}{-0,660}$	$\frac{0,259}{0,262}$
7	$\frac{0,105}{0,106}$	$\frac{-0,245}{-0,247}$	$\frac{0,266}{0,269}$	$\frac{-0,104}{0,105}$

**Примечание.** Над чертой приведены значения для пластин, шарнирно опертых по контуру, под чертой – для пластин, шарнирно опертых по краям  $x = 0$ ;  $x = L$  и свободных по двум другим.

Т а б л и ц а 2

Значения коэффициентов  $A_{ij,m}$  выражения (29)

$i$	$j$	$A_{ij,0}$	$A_{ij,2}$	$A_{ij,4}$	$i$	$j$	$A_{ij,0}$	$A_{ij,2}$	$A_{ij,4}$
1	1	1/3	-1,03	1,23	4	3	1/10	-0,30	0,35
	2	2/5	-1,43	1,94		4	1/6	-0,50	0,60
	3	1/7	-0,55	0,83	5	1	1/7	-0,52	0,72
	4	2/9	-0,92	1,39		2	2/9	-0,85	1,21
2	1	1/4	-0,56	0,60	6	3	1/11	-0,36	0,53
	2	1/3	-0,90	1,00		4	2/13	-0,62	1,00
	3	1/8	-0,39	0,35	6	1	1/8	-0,71	1,13
	4	1/5	-0,58	0,68		2	1/5	-1,17	1,93
3	1	1/5	-0,39	0,36	7	3	1/12	-0,51	0,84
	2	2/7	-0,60	0,60		4	1/7	-0,87	1,50
	3	1/9	-0,23	0,30	7	1	1/9	-0,72	1,28
	4	2/11	-0,40	0,50		2	2/11	-1,21	2,21
4	1	1/6	-0,43	0,49	7	3	1/13	-0,52	0,97
	2	1/4	-0,70	0,82		4	2/15	-0,93	1,74

Для случая наличия  $N$  трещин имеем

$$\Phi_{\tau_N} = \frac{2\pi\bar{\alpha}^2}{E_k^2} \sigma_{\max}^2 \sum_{q=1}^N F_{2,n}(a_q, \bar{\alpha}_q, \beta_q, \gamma_q) \sin^2 \frac{m\pi}{L} x_{\tau,q}. \quad (30)$$

При этом под знаком суммирования учитываются данные только для тех трещин, в месте расположения которых номинальное напряжение  $\sigma_{\tau,q}$  является растягивающим для рассматриваемого полуцикла колебаний пластины. Как и выше (см. п. 1.1), учитывая, что условие  $\sigma_{\tau,q} > 0$  должно выполняться по всей длине центральной трещины, ограничимся исследованием симметричных форм колебаний пластины относительно ее центральной оси, перпендикулярной плоскости трещины при длине полуволны, большей длины трещины.

С использованием формул (1), (9) и (30) найдем следующее выражение для параметра  $\kappa$ :

$$\kappa_{1.2.1N} = \frac{48\pi\bar{\alpha}^2}{BLtE_k^2 \lambda_{m,n}^2} \sum_{q=1}^N \sin^2 \frac{m\pi}{L} x_{\tau,q} F_{2,n}(a_q, \bar{\alpha}_q, \beta_q, \gamma_q). \quad (31)$$

При наиболее опасном расположении  $N$  трещин одинаковых размеров  $(a, b)$  в сечениях  $x_{\tau,q} = \frac{1+2(q-1)}{2m} L$  ( $q = 1, 2, 3, \dots, N = m$ ), т.е. с наибольшим значением максимальных напряжений изгиба  $\sigma_{\tau,q} = \sigma_{\max}$ , выражения (30) и (31) при колебаниях пластины по  $m$ -й форме при  $n = 1, 3, \dots$  и  $2a < B/n$  для четных значений  $m$  примут вид

$$\Phi_{\tau_N} = \frac{2\pi m \bar{\alpha}^2}{E_k^2} \sigma_{\max}^2 F_{2,n}(a, \bar{\alpha}, \beta, \gamma); \quad (32)$$

$$\kappa_{1.2.1m} = \frac{48\pi m \bar{\alpha}^2}{BLtE_k^2 \lambda_{m,n}^2} F_{2,n}(a, \bar{\alpha}, \beta, \gamma) \quad (33)$$

и в случае нечетных значений  $m$  для полуциклов разного ( $\pm$ ) знака –

$$\kappa_{1.2.1m} = \frac{24\pi(m \pm 1)\bar{\alpha}^2}{BLtE_k^2 \lambda_{m,n}^2} F_{2,n}(a, \bar{\alpha}, \beta, \gamma), \quad (34)$$

где  $\lambda_{m,n}$  определяется формулой (11).

1.2.2. Пластина, шарнирно опертая по краям  $x = 0$  и  $x = L$  и свободная по двум другим. Рассмотрим, как и выше (п. 1.1.2), наиболее простые балочные формы колебаний  $w(x, y) = A_m \sin \frac{m\pi}{L} x$ ,  $m = 1, 2, 3, \dots$ . Поскольку при данных формах колебаний изгибающий момент  $M_x$  не изменяется

вдоль ширины пластины, наиболее приемлемым является использовать формулу (25). В этом случае в выражениях (31), (33), (34) следует принять  $\lambda_{m,n} \equiv 1$  и, кроме того, учитываем, что в (28)  $\cos\left(\frac{\pi n}{B} a \cos \varphi\right) \equiv 1$ :

$$F_{2,n}(a_q, \bar{\alpha}_q, \beta_q, \gamma_q) \equiv F_2 = \int_0^{\pi/2} \int_0^{a_q} [aH(\bar{\alpha}, \beta, \varphi)F_1(a, \bar{\alpha}, \beta, \gamma, \varphi)]^2 dad\varphi. \quad (35)$$

При этом для вычисления  $F_2$  может использоваться приближенное аналитическое выражение (29) при значениях коэффициентов  $A_{ij}$ , приведенных в табл. 1.

1.2.3. *Пластина, жестко закрепленная по краям  $x = 0$ ;  $x = L$  и свободная по двум другим.* Для рассмотренных форм колебаний пластины (18), как и для пластины с двумя шарнирно опертыми краями (п. 1.2.2), используем функцию (35) или ее приближенное выражение (29) при соответствующих значениях коэффициентов  $A_{ij}$  (табл. 1). Тогда, учитывая, формулы (1), (22), а также то, что сомножители при  $\sigma_{\max}$  в (8) и (19) отличаются, выражения (30), (31) примут вид

$$\Phi_{\tau N} = \frac{2\pi\bar{\alpha}^2}{E_k^2} \sigma_{\max}^2 \sum_{q=1}^N F_2(a_q, \bar{\alpha}, \beta_q, \gamma_q) \times \frac{[(\sin k_j x_q + \text{sh } k_j x_q) - B_j(\cos k_j x_q + \text{ch } k_j x_q)]^2}{[(\sin k_j x_{mj} + \text{sh } k_j x_{mj}) - B_j(\cos k_j x_{mj} + \text{ch } k_j x_{mj})]^2}; \quad (36)$$

$$\kappa_{1.3.N} = \frac{12\pi\bar{\alpha}^3}{BLtE_k^2} \sum_{q=1}^N a_q^2 F_2(a_q, \bar{\alpha}, \beta_q, \gamma_q) \times [(\sin k_j x_q + \text{sh } k_j x_q) - B_j(\cos k_j x_q + \text{ch } k_j x_q)]^2, \quad (37)$$

где  $j$  обозначает соответствие значений  $k$  и  $x_m$   $j$ -й форме колебаний пластины (п. 1.1.3.). При этом под знаком суммирования для рассматриваемого полуцикла колебаний пластины учитываются только те трещины, в месте расположения которых номинальное напряжение  $\sigma_{\tau}$  является растягивающим. Кроме того, как уже отмечалось (п. 1.1.3.), приведенные выражения допустимо использовать при расположении трещин вдали от закрепленных краев достаточно гибкой пластины.

В качестве примера на рис. 4,а для шарнирно опертой по контуру пластины представлены зависимости обобщенного параметра  $\kappa L \lambda_{m,n}^2 / B$  от относительной длины  $\gamma = 2a/B$  одной ( $N = 1$ ) центральной полуэллиптической трещины, расположенной в одном из сечений ( $x_{\tau} = L/2$ ) с наибольшим значением максимального напряжения изгиба, т.е. при  $\sin \frac{\pi m}{L} x_{\tau} = 1$ ,

при разных отношениях ее глубины  $b$  к толщине  $t$  пластины ( $\beta = b/t$ ). Данные рассчитывали по формуле (31) для первой формы колебаний ( $n = 1$ ;  $m = 1$ ).

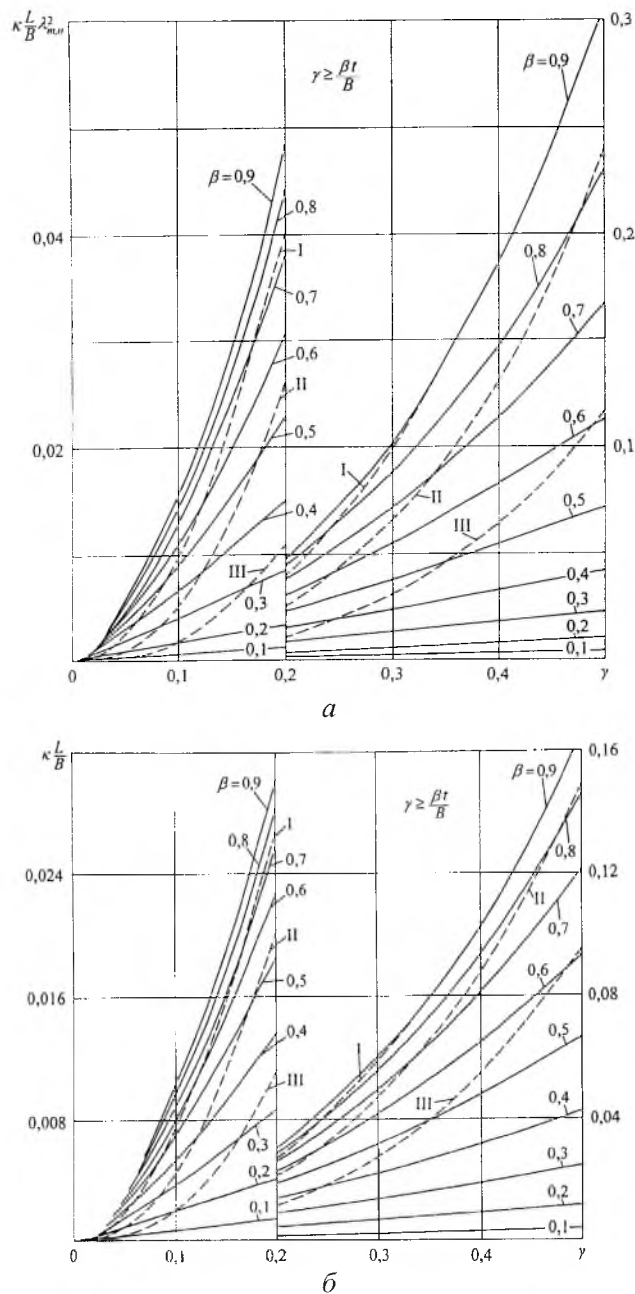


Рис. 4. Зависимости обобщенных параметров повреждения  $\kappa L \lambda_{m,n}^2 / B$  для шарнирно опертой по контуру пластины (а) и  $\kappa L / B$  для шарнирно опертой по двум краям пластины (б) от относительной длины  $\gamma = 2a/B$  центральной поверхностной полуэллиптической трещины при разных значениях параметра  $\beta = b/t$ . (Здесь штриховые линии соответствуют устойчивой форме фронта поверхностной трещины при циклическом изгибе пластины с разными значениями отношения ее размеров  $t/B$ : I –  $t/B = 0,05$ ; II –  $t/B = 0,10$ ; III –  $t/B = 0,20$ .)

Значения параметра  $\kappa L \lambda_{m,n}^2 / B$  для наиболее устойчивой формы фронта поверхностной полуэллиптической трещины при симметричном циклическом изгибе пластины, определяемой формулой  $\bar{a} = 0,96 - 0,78\beta$  [6], показаны на рис. 4 штриховыми линиями.

Для пластины, шарнирно опертой по двум краям  $x = 0$ ;  $x = L$  и свободной по двум другим, на рис. 4,б приведены зависимости обобщенного параметра  $\kappa L/B$  от относительной длины трещины  $\gamma = 2a/B$ , которые при расположении трещины в одном из сечений с наибольшим напряжением изгиба не зависят от формы колебаний. При наличии  $N = m$  одинакового размера центральных трещин, расположенных в сечениях  $(x_{т,i} = \frac{1+2(i-1)}{2m}L, i = 1, 2, 3, \dots, N = m)$  с наибольшим значением максимальных напряжений изгиба, полученные значения параметра  $\kappa L/B$  для одной трещины увеличиваются в  $m/2$  раза для четных  $m$  и в  $(m \pm 1)/2$  раза для нечетных  $m$  с учетом знака полуцикла ( $\pm$ ).

**2. Определение вибродиагностических параметров.** В качестве вибродиагностических параметров поврежденности пластины вследствие образования трещин нормального отрыва удобно использовать определяемые через параметр  $\kappa$  приближенные значения относительного изменения собственной частоты ее колебаний при открытых и закрывающихся трещинах соответственно [1]:

$$\beta_{т} = \frac{\omega_0 - \omega_{т}}{\omega_0} = \frac{\sqrt{1+\kappa} - 1}{\sqrt{1+\kappa}}; \quad (38)$$

$$\beta_{т.з} = \frac{\omega_0 - \omega_{т.з}}{\omega_0} = \frac{\sqrt{1+\kappa} - 1}{\sqrt{1+\kappa} + 1}. \quad (39)$$

В случае если ни на одном из полуциклов ( $\pm$ ) не все трещины закрываются или открываются и значения параметра  $\kappa$  на этих полуциклах разные ( $\kappa_+ \neq \kappa_-$ ), то относительное изменение собственной частоты определяется формулой [2]

$$\beta'_{т.з} = \frac{\omega_0 - \omega'_{т.з}}{\omega_0} = 1 - \frac{2}{\sqrt{1+\kappa_+} + \sqrt{1+\kappa_-}}, \quad (40)$$

при  $\kappa_+ = \kappa_- = \kappa$  – формулой (38).

С использованием зависимостей (12), (13), (16), (17), (23), (31), (33), (34), (37) (см. также рис. 2 и 4) можно для заданных условий закрепления пластины и формы ее колебаний определить зависимости относительного изменения частоты собственных колебаний от относительных размеров сквозных и поверхностных трещин для разных относительных размеров пластины.

В качестве примеров на рис. 5 и 6 показаны зависимости относительного изменения собственной частоты колебаний квадратной пластины, шарнирно опертой по всем краям и шарнирно опертой только по двум краям ( $x = 0$ ;  $x = L$ ), а по остальным свободной, при низших формах ее колебаний

( $m = n = 1$  и  $m = 1$  соответственно) от относительной длины  $\gamma = 2a/B$  одной сквозной центральной трещины и одной открытой центральной поверхностной полуэллиптической трещины, расположенных посередине пластины ( $x_T = L/2$ ) при разных относительных ее размерах.

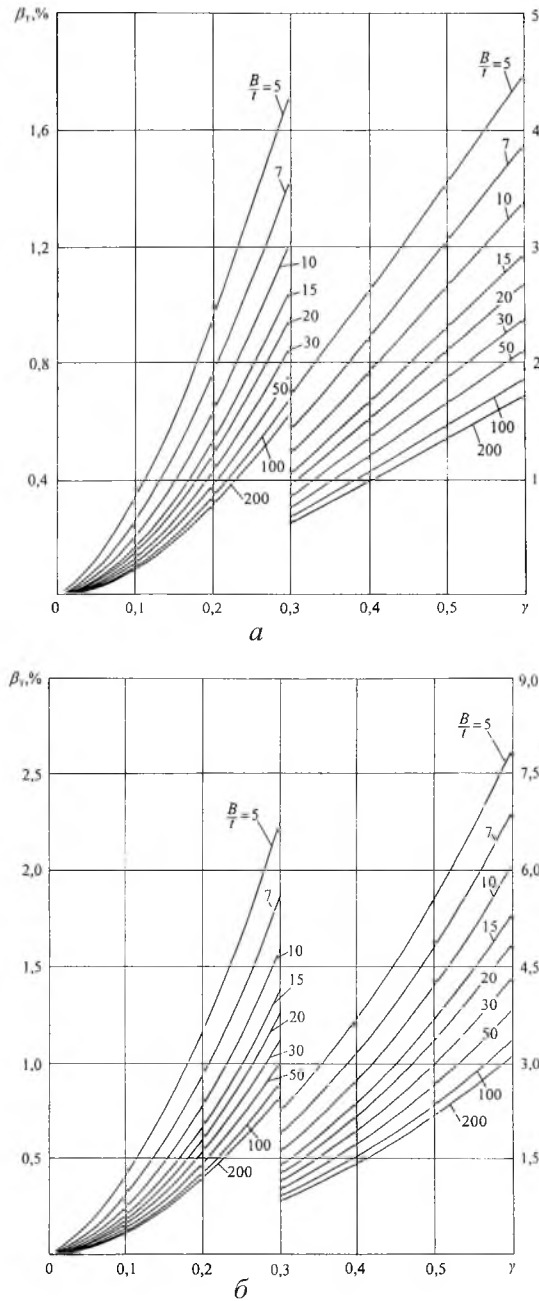


Рис. 5. Зависимости относительного изменения собственной частоты изгибных колебаний  $\beta_T$  квадратной пластины от относительной длины  $\gamma = 2a/B$  сквозной центральной трещины, расположенной в сечении с наибольшим значением максимальных напряжений изгиба, при разных значениях отношения ее размеров  $B/t$ : а – шарнирно опертая по всем краям при  $m = n = 1$ ; б – шарнирно опертая по двум краям при  $m = 1$ .

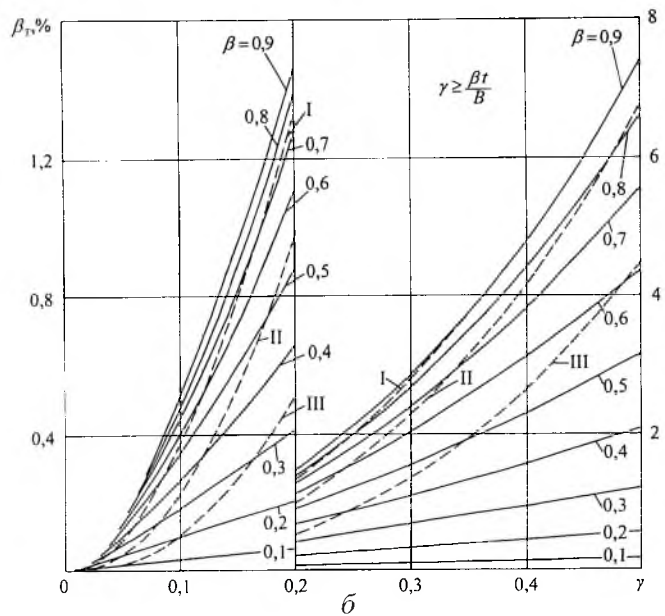
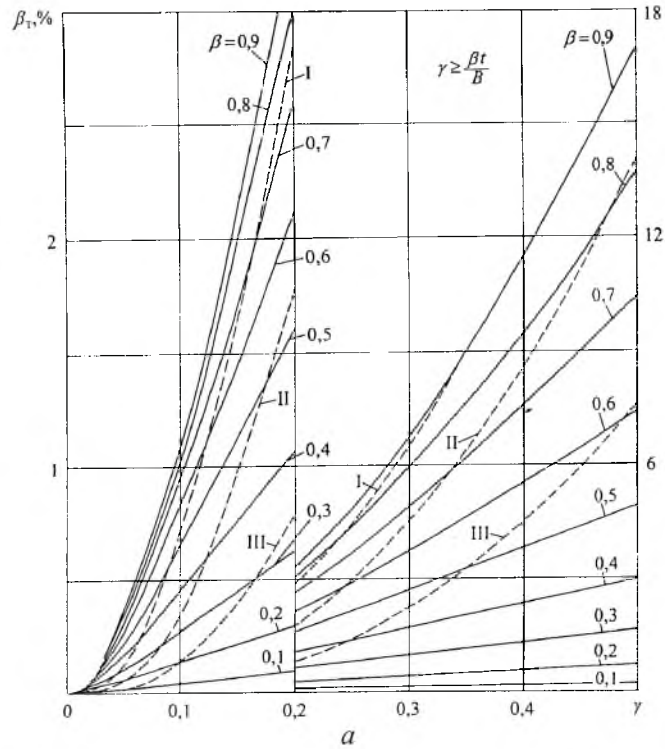


Рис. 6. Зависимости относительного изменения собственной частоты  $\beta_1$  изгибных колебаний пластины от относительной длины  $\gamma = 2a/B$  одной открытой центральной поверхностной полуэллиптической трещины, расположенной в сечении  $x_T = L/2$ , при разных значениях параметра  $\beta = b/t$ : а – шарнирно опертая по контуру при  $m = n = 1$  и  $B/L = 2$ ; б – шарнирно опертая по двум краям при  $m = 1$  и  $B/L = 1$ . (Штриховые линии соответствуют устойчивой форме фронта поверхностной трещины при циклическом изгибе пластины с разными значениями отношения ее размеров  $t/B$ : I –  $t/B = 0,05$ ; II –  $t/B = 0,10$ ; III –  $t/B = 0,20$ .)



При использовании приведенных данных с целью практической вибродиагностики повреждения пластин заметим: несмотря на то что в многочисленных исследованиях колебаний упругих тел с трещинами преимущественно внимание уделяется определению их влияния на изменение собственных частот, считается, что надежное диагностирование повреждения возможно, если изменение собственной частоты превышает 5% [7].

Как следует из представленных данных, при наличии только одной трещины наблюдаемое изменение собственной частоты колебаний пластины только в отдельных случаях удовлетворяет условию надежного диагностирования ее повреждения.

В связи с этим оценим возможную эффективность таких более чувствительных вибродиагностических индикаторов повреждения, как параметры искажения гармоничности колебаний, обусловленного нелинейностью колебательной системы вследствие наличия периодически закрывающихся трещин, что имеет место в случае поверхностной трещины, т.е. когда изменение собственной частоты колебаний пластины определяется формулами (39) или (40) [1, 2].

Наиболее представительными параметрами искажения гармоничности колебаний, определяемыми при спектральном анализе регистрируемого колебательного процесса упругого тела с трещиной, являются величина отношения постоянной составляющей  $A_0$  и амплитуды второй гармоники  $A_2$  к амплитуде первой гармоники  $A_1$  [8, 9]. Особенно проявляется амплитуда второй гармоники при супергармоническом резонансе второго порядка ( $\nu = \frac{1}{2} \omega_{т.з}$ ) [8, 9]. Эти вибродиагностические параметры выражаются через энергетический параметр  $\kappa$ . Так, относительные величины постоянной составляющей и амплитуды второй гармоники определяются по приближенным формулам при основном резонансе (частота возбуждения  $\nu = \omega_{т.з}$ ) [8]

$$\frac{A_0}{A_1} = \frac{\kappa}{\pi(1 + \kappa)}, \quad \frac{A_2}{A_1} = \frac{2\kappa}{9\pi(1 + \kappa)}, \quad (41)$$

при супергармоническом резонансе второго порядка относительная величина постоянной составляющей определяется по той же формуле, а относительная амплитуда второй гармоники – по выражению

$$\frac{A_2}{A_1} \approx \frac{\pi\kappa(1 + \sqrt{1 + \kappa})[(8 - \pi)(1 + \kappa) - \pi]}{16(1 + \kappa)^2 \delta}, \quad (42)$$

где  $\delta$  – логарифмический декремент колебаний пластины.

В качестве примера на рис. 7 для низших форм колебаний квадратной пластины, шарнирно опертой по всем краям и шарнирно опертой только по двум краям  $x = 0$  и  $x = L$ , а по двум другим свободной, представлены зависимости отношений  $A_0/A_1$  и  $A_2/A_1$  от относительной длины  $\gamma = 2a/B$  одиночной полуэллиптической центральной трещины для разных значений ее относительной глубины  $\beta = b/t$ , рассчитанные по формулам (41). Рис. 8

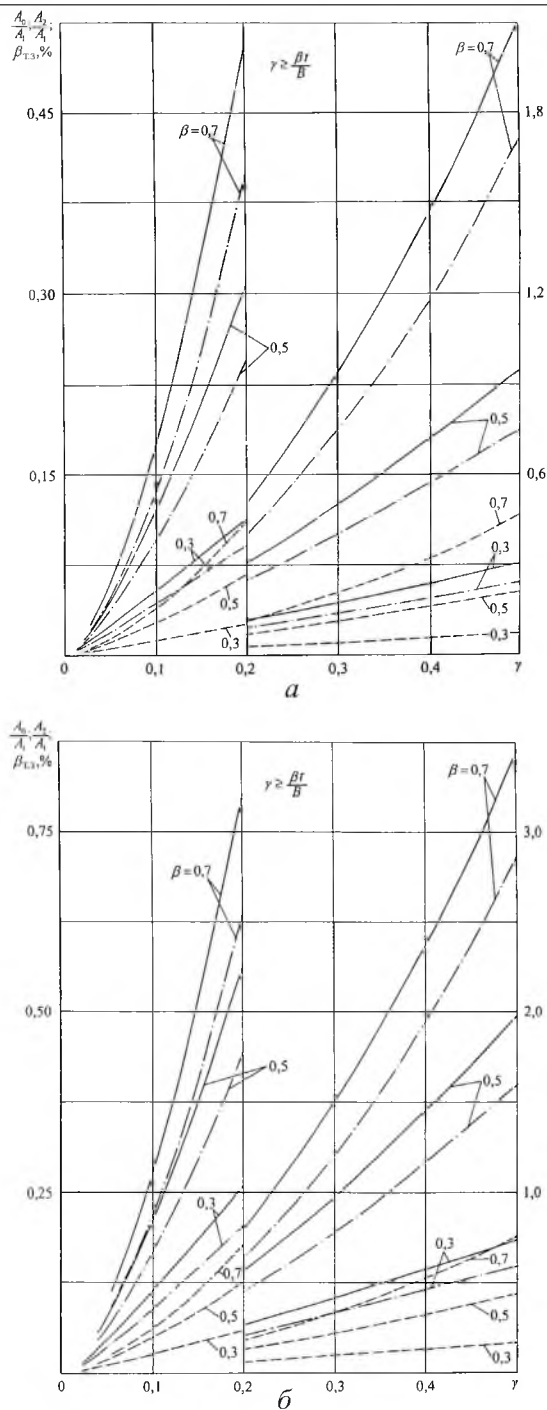


Рис. 7. Зависимости относительных величин постоянной составляющей  $A_0/A_1$  (сплошные линии) и амплитуды второй гармоники  $A_2/A_1$  (штриховые линии), а также относительного изменения собственной частоты  $\beta_{T,3}$  (трипунктирные линии) изгибных колебаний квадратной пластины при основном резонансе от относительной длины  $\gamma = 2a/B$  центральной поверхностной полуэллиптической трещины, расположенной в сечении с наибольшим значением максимальных напряжений изгиба, при разных значениях параметра  $\beta = b/t$ : а – шарнирно опертая по контуру; б – шарнирно опертая по двум краям.

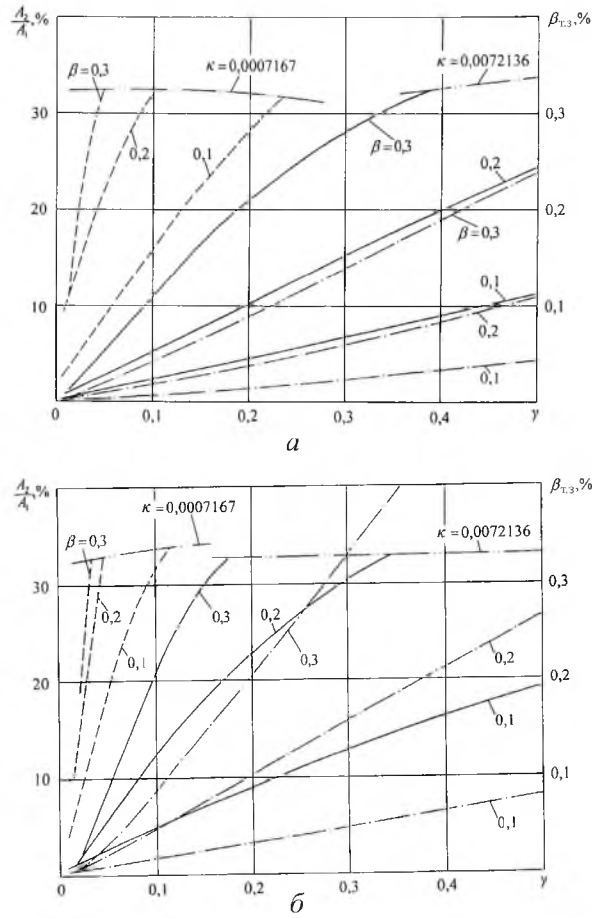


Рис. 8. Зависимости относительной амплитуды второй гармоники  $A_2/A_1$  при двух значениях логарифмического декремента ( $\delta = 0,01$  – сплошные линии,  $\delta = 0,001$  – штриховые линии) и относительного изменения собственной частоты  $\beta_{Т,3}$  (штрихпунктирные линии) изгибных колебаний квадратной пластины при супергармоническом резонансе 2-го порядка от относительной длины  $\gamma = 2a/V$  центральной поверхностной полуэллиптической трещины, расположенной в сечении с наибольшим значением максимальных напряжений изгиба, при разных значениях параметра  $\beta = b/t$ :  $a$  – шарнирно опертая по контуру;  $б$  – шарнирно опертая по двум краям. (Штрихпунктирные с двумя точками линии соответствуют предельному значению параметра  $\kappa$ .)

иллюстрирует зависимости  $A_2/A_1(\gamma)$ , рассчитанные по формуле (42) при различных значениях логарифмического декремента колебаний  $\delta$ .

Для сопоставления влияния поврежденности на рассматриваемые вибродиагностические параметры на рис. 7, 8 приведены также зависимости относительного изменения собственной частоты изгибных колебаний пластины  $\beta_{Т,3}$  от относительной длины  $\gamma$  трещины. Видно, что если для основного резонанса (рис. 7) наиболее чувствительным параметром повреждения является относительная величина постоянной составляющей (сплошные линии), практически сравнимая с изменением собственной частоты колебаний пластины (штрихпунктирные линии), а чувствительность относительной величины второй гармоники значительно им уступает, то для супер-

гармонического резонанса (рис. 8) чувствительным параметром будет относительная величина второй гармоники (сплошные и штриховые линии), которая может более чем на 2-3 порядка превышать относительное изменение собственной частоты колебаний пластины (штрихпунктирные линии). Относительная амплитуда второй гармоники существенно зависит от уровня демпфирующей способности колебательной системы, которая характеризуется в данном случае величиной логарифмического декремента колебаний  $\delta = 0,01$  и  $0,001$ . Величина  $\delta$  определяет также предельное значение параметра  $\kappa = \frac{2,25\delta}{\pi - 2,25\delta}$ , ограничивающего достоверность использования формулы (42) [2].

Наличие сквозных трещин в пластине не обуславливает ее нелинейность, и более чувствительным параметром повреждения может быть относительное изменение логарифмического декремента колебаний [1]:

$$\bar{\delta} = \frac{\delta_{\tau} - \delta_0}{\delta_0} = \left( \frac{\Delta W_{\tau}}{\Delta W_0} - \kappa \right) (1 + \kappa)^{-1}, \quad (43)$$

где  $\Delta W_{\tau}$  – рассеяние энергии колебаний пластины при наличии трещины;  $\Delta W_0$  – то же без трещины.

Так, при пренебрежимо малом рассеянии энергии в трещине относительное изменение декремента колебаний

$$\bar{\delta} \approx \frac{\kappa}{1 + \kappa}, \quad (44)$$

его величина примерно в два раза больше относительного изменения собственной частоты колебаний  $\beta_{\tau}$ . Однако при использовании на практике относительного изменения демпфирующей способности пластины, как и изменения ее собственной частоты, необходимо обеспечить строго идентичные условия испытаний пластины в исходном и поврежденном состоянии, а при низкой демпфирующей способности пластины также оценить уровень рассеяния энергии, обусловленного трещиной.

**Заключение.** С использованием изложенной ранее авторами методики получены приближенные аналитические выражения для определения относительной энергетической характеристики повреждения  $\kappa$  прямоугольной пластины, обусловленной наличием центральных плоских сквозных и поверхностных полуэллиптических трещин. Расчетные зависимости параметра  $\kappa$  от относительных размеров трещин и места их расположения приведены для пластины, шарнирно опертой по контуру, шарнирно опертой и жестко защемленной по двум краям при свободных остальных. С использованием полученных зависимостей определены вибродиагностические параметры повреждения пластин: относительное изменение собственной частоты и изменение относительной амплитуды второй гармоники колебательного процесса при основном и супергармоническом резонансах. На примере квадратной пластины показано, что при наличии сквозной трещины наиболее чувствительной вибродиагностической характеристикой повреждения является изме-

нение логарифмического декремента колебаний, а при наличии поверхностной трещины – относительная величина второй гармоники колебательного процесса при супергармоническом резонансе.

## Резюме

Розглядаються результати аналітичного визначення вібродіагностичних параметрів, що характеризують наявність плоских наскрізних та поверхневих напівеліптичних центральних тріщин нормального відриву в прямокутній однорідній пластині, що має постійну товщину за різних умов закріплення і форм коливань. Показано, що у випадку наскрізної тріщини найбільш чутливою вібродіагностичною характеристикою пошкодження пластини є зміна величини логарифмічного декремента коливань, за наявності поверхневої тріщини – відносна величина другої гармоніки коливального процесу при супергармонічному резонансі.

1. *Матвеев В. В., Богинич О. Е.* Вибродиагностические параметры усталостного повреждения прямоугольных пластин. Сообщ. 2. Прямолинейные трещины постоянной глубины // Пробл. прочности. – 2005. – № 1. – С. 43 – 59.
2. *Матвеев В. В., Богинич О. Е.* Вибродиагностические параметры усталостного повреждения прямоугольных пластин. Сообщ. 1. Методика определения параметров повреждения // Там же. – 2004. – № 6. – С. 5 – 16.
3. *Справочник по коэффициентам интенсивности напряжений.* В 2 т. Т. 1 / Под. ред. Ю. Мураками. – М.: Мир, 1990. – 448 с.
4. *Вайниток В. А., Варфоломеев И. В.* Оценка погрешностей выражений для коэффициентов интенсивности напряжений трещин эллиптического типа // Пробл. прочности. – 1989. – № 10. – С. 53 – 58.
5. *Newman J. C. and Raju I. S.* An empirical stress-intensity factor equation for the surface crack // Eng. Fract. Mech. – 1981. – **15**, No. 1-2. – P. 185 – 192.
6. *Варфоломеев И. В., Вайниток В. А., Красовский А. Я.* Критерии и устойчивые формы роста несквозных трещин при циклическом нагружении. Сообщ. 2 // Пробл. прочности. – 1990. – № 9. – С. 11 – 16.
7. *Salawu O. S.* Detection of structural damage through changes in frequency: a review // Eng. Struct. – 1997. – **19**, No. 9. – P. 718 – 723.
8. *Матвеев В. В., Бовсуновский А. П.* К анализу эффективности метода спектральной вибродиагностики усталостного повреждения элементов конструкций. Сообщ. 4. Анализ искажения гармоничности цикла колебаний стержневых элементов при наличии закрывающихся поперечных трещин // Пробл. прочности. – 2000. – № 1. – С. 5 – 12.
9. *Матвеев В. В., Бовсуновский А. П.* Некоторые аспекты колебаний упругого тела с “дышащей” несплошностью материала // Там же. – № 5. – С. 44 – 60.

Поступила 12. 09. 2005